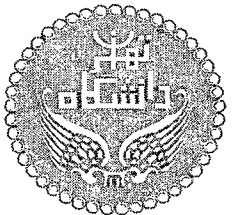
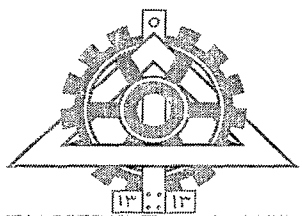


بِسْمِ اللّٰهِ الرَّحْمٰنِ الرَّحِيْمِ

۱۴/۱۲/۲۰۱۷

۹۳۹۸۷



دانشگاه تهران
پردیس دانشکده‌های فنی
گروه مهندسی نقشه‌برداری
قطب علمی مهندسی نقشه‌برداری و مقابله با سوانح طبیعی

تعیین ارتفاع ارتومنتریک در شبکه ترازیابی درجه ۱ ایران

نگارش:
عبدالرحمان مصطفوی

استاد راهنمای:
دکتر عبدالرضا صفری
دکتر علیرضا آرموده اردلان

۱۳۸۷ / ۲ / ۲۸

استاد مشاور:
دکتر یحیی جمور

پایان نامه برای دریافت درجه کارشناسی ارشد در رشته نقشه‌برداری گرایش ژئودزی-هیدروگرافی

اردیبهشت ۱۳۸۷

۹۳۹۸۷

بنام خدا

این‌جاتب علی‌الرحمان مصطفوی تأیید می‌کنم که مطالب مندرج در این پایان‌نامه، حاصل کار پژوهشی این‌جاتب است و به دستاوردهای پژوهشی دیگران که در این نوشته از آنها استفاده شده است مطابق مقررات ارجاع گردیده است. این پایان‌نامه قبلاً برای احراز هیچ مدرک هم سطح یا بالاتر ارائه نشده است.

کلیه حقوق مادی و معنوی این اثر متعلق به دانشکده فنی دانشگاه تهران می‌باشد.

نام و نام خانوادگی دانشجو
امضاء دانشجو
۱۳۸۷/۲/۲۰

تقدیم به

پدرم و مادرم

و

همسرم

چکیده

یکی از مباحث مهم در ژئودزی تعیین ارتفاع نقاط می‌باشد. ارتفاع به عنوان کمیتی مرتبط با شیب و جهت جریان آب از اطلاعات ضروری در انجام بسیاری از فعالیت‌ها و پروژه‌های عمرانی در هر کشوری است.

شیب نیز در مفهوم فیزیکی چیزی جز اختلاف پتانسیل نیست و تعیین آن بدون اندازه‌گیری شتاب ثقل امکان‌پذیر نیست. بدین جهت برای تعیین ارتفاع نقاط در بیشتر کشورها شبکه‌های ترازیابی دقیق ایجاد گردیده است. که همراه با انجام ترازیابی مشاهدات ترازیابی، مشاهدات ثقل نیز در آنها انجام می‌شود.

در این پایان‌نامه علاوه بر بررسی دقت شبکه ترازیابی درجه ۱ ایران و نحوه توزیع خطاهای اتفاقی و سیستماتیک درون شبکه روشی برای تعیین شتاب ثقل متوسط ارائه و شتاب ثقل متوسط برای نقاط شبکه ترازیابی درجه ۱ ایران به این روش محاسبه شده است. روش ارائه شده بر مبنای حل مسئله مقدار مرزی ثابت-آزاد بر اساس مشاهدات از نوع:

- (۱) قدر مطلق شتاب ثقل حاصل از ثقل سنگی زمینی،
- (۲) طول و عرض نجومی،
- (۳) پتانسیل ثقل حاصل از عملیات ترازیابی و ثقل سنگی و
- (۴) ارتفاع سنگی ماهواره‌ای

می‌باشد. پس از حل مسئله مقدار مرزی، پتانسیل ثقل تفاضلی در روی سطح بیضوی رفرانس حاصل می‌گردد. پتانسیل ثقل تفاضلی در خارج بیضوی رفرانس در معادله لاپلاس صدق می‌نماید. پس از حل مسئله مقدار مرزی دیریخله می‌توان پتانسیل ثقل تفاضلی را در نقطه با ارتفاع متوسط تعیین نموده و پس از اعمال اپراتور گرادیانت، شتاب ثقل تفاضلی را نیز در این نقطه بدست آورد. با در اختیار داشتن شتاب ثقل تفاضلی در نقطه با ارتفاع متوسط و بازگرداندن اثرات حذف شده در این نقطه، شتاب ثقل متوسط بدست می‌آید.

پس از آن با سرشکنی لوب‌هایی از شبکه که دارای اطلاعات ثقلی کامل می‌باشند اختلاف پتانسیل‌های تعديل شده و سپس اختلاف ارتفاعات دینامیک و ارتومنتریک در این لوب‌ها محاسبه شده است.

تقدیر و تشکر

خدا را شکر که در این مرحله از زندگی نیز مرا یاری نمود. پس از آن بر خود لازم می‌دانم از خدمات اساتید گرانقدر و بزرگوارم جناب آقای دکتر عبدالرضا صفری و جناب آقای دکتر علیرضا آزموده اردلان که راهنمایی‌های ایشان در به انجام رسیدن این پایان‌نامه نقش بسزایی داشت سپاس-گذاری نموده و برای ایشان پیروزی و سربلندی در تمام مراحل زندگی را آرزومندم.

همچنین از جناب آقای دکتر جمور و هیئت محترم داوران آقایان دکتر مشهدی حسینعلی، دکتر شریفی به خاطر مطالعه دقیق این پایان‌نامه و ارائه پیشنهادات مهم قدردانی می‌کنم و از جناب آقای دکتر رجی که مسئولیت نظارت بر جلسه دفاعیه را بر عهده داشتند متشرکم.

از دوستان عزیز و خویم آقایان مهندس حیدر راستی ویسی، مهندس محمد طاهر کاوش، محمد راستی ویسی، مهندس مهدی نیکخو و مهندس عطاءالله حدادی و سایر دوستان به خاطر تشویق‌ها و حمایت‌های ایشان با کمال احترام سپاسگزارم و امیدوارم در تمامی مراحل موفق و پیروز باشند.

در انتها لازم می‌دانم از خانواده‌ام بخصوص پدر و مادرم که در تمام دوران تحصیل و زندگی همواره مشوق و پشتیبان من بودند سپاسگزاری می‌کنم.
—

فهرست مطالب

صفحه	عنوان
۱	تقدیم
۲	چکیده
۳	تقدیر و تشکر
۴	فهرست مطالب
۵	فهرست اشکال
۶	فهرست جداول
۷	فصل اول - مقدمه
۸	فصل دوم - تئوری ارتفاعات
۹	۱-۱ گرانش، ثقل و پتانسیل زمین
۱۰	۱-۲ سیستمهای ارتفاعی
۱۱	۱-۲-۱ ارتفاعات دینامیک
۱۲	۱-۲-۲ ارتفاعات اورتومتریک
۱۳	۱-۲-۳ ارتفاعات نرمآل
۱۴	فصل سوم - بررسی خطاهای در شبکه ترازیابی دقیق
۱۵	۱-۳ آنالیز واریانس
۱۶	۲-۳ فرمولهای لالمند
۱۷	۳-۳ فرمولهای ویگنان
۱۸	۴-۳ مطالعه موردی: بررسی خطاهای در شبکه ترازیابی درجه یک ایران
۱۹	۵-۳ بحث و نتیجه‌گیری
۲۰	فصل چهارم - محاسبه شتاب ثقل متوسط
۲۱	۱-۴ مقدمات ریاضی
۲۲	۴-۱-۱ سطوح منظم
۲۳	۴-۱-۲ هارمونیکهای خارجی
۲۴	۴-۱-۳ مسئله مقدار مرزی دیرینخله
۲۵	۴-۱-۴ مسئله مقدار مرزی گستته دیرینخله

۴۲	۲-۴ استفاده از اسپیلاینهای هارمونیک.....
۴۲	۴-۱ اسپیلاینهای هارمونیک.....
۴۴	۴-۲-۱ درونیابی اسپیلاین هارمونیک(مسئله درونیابی).....
۵۰	۴-۳-۱ اسپیلاینهای هموارسازی.....
۵۱	۴-۳-۲ مثالهای از انواع کرناها.....
۵۲	۴-۴ مطالعه موردی: تعیین شتاب تقل متوسط در منطقه ایران.....
۶۱	۴-۵ بحث و نتیجه گیری.....
۶۳	فصل پنجم - مدلهای ریاضی سرشکنی و تستها.....
۶۳	۱-۱ سرشکنی بر اساس اختلاف پتانسیلها.....
۶۶	۱-۲-۱ عدم استقلال مشاهدات ترازیابی.....
۶۶	۱-۲-۲-۱ حالتها حدی وابستگی
۷۳	۱-۲-۲-۲ بررسی مدل کواریانس.....
۷۷	۱-۲-۳-۱ تعیین ماتریس واریانس-کواریانس مشاهدات ترازیابی.....
۷۸	۱-۲-۳-۲ محاسبه مقادیر α و λ
۷۹	۱-۲-۳-۳ تعیین ماتریس وزن مشاهدات سرشکنی.....
۸۰	۱-۲-۳-۴ پردازش‌های قبل از سرشکنی.....
۸۱	۱-۲-۳-۵ پردازش‌های بعد از سرشکنی.....
۸۱	۱-۳-۱ تست فاکتور واریانس.....
۸۳	۱-۳-۲-۱ تست باردا.....
۸۴	۱-۳-۲-۲-۱ تست برآورد پایدار.....
۸۴	۱-۳-۲-۲-۲ مطالعه موردی: سرشکنی شبکه ترازیابی درجه یک ایران.....
۸۹	فصل ششم - نتیجه گیری و پیشنهادات.....
۸۹	۱-۶-۱ نتیجه گیری.....
۹۰	۱-۶-۲ پیشنهادات.....
۹۲	فهرست منابع.....
۹۷	پیوستها.....
۹۷	پیوست ۱- مدلسازی بخش جهانی میدان ثقل.....
۱۰۲	پیوست ۲- رابطه مختصات کارتزین $\{z, y, x\}$ به مختصات بیضوی $\{\lambda, \phi, u\}$
۱۰۳	پیوست ۳- رابطه مختصات کارتزین $\{z, y, x\}$ به مختصات بیضوی $\{\lambda, \phi, \eta\}$
۱۰۴	پیوست ۴- جواب انگرال تیوتون در سیستم مختصات کارتزین $\{x, y, z\}$

فهرست اشکال

عنوان شکل	صفحه
شکل ۱-۲: ارتفاع از بیضوی در مقابل ارتفاع نسبت به ژئوئید.....	۸
شکل ۲-۲: پروسه اندازه‌گیری ارتفاع بین دو نقطه از طریق مشاهدات ترازیابی.....	۱۰
شکل ۲-۳: یک لوپ بسته از مشاهدات ترازیابی دقیق	۱۴
شکل ۲-۴: ارتفاع نرمال H^* و آنامولی ارتفاعی ک، تلوئید و کوازی ژئوئید.....	۲۱
شکل ۲-۵: ارتباط بین ارتفاع ژئوئید و ارتفاعات اورتومتریک و بیضوی	۲۲
شکل ۳-۱: شبکه ترازیابی درجه ۱ طراحی شده برای ایران و پراکندگی اطلاعات ترازیابی موجود.....	۳۲
شکل ۳-۲: توزیع اندازه خطاهای اتفاقی در کل شبکه و توزیع اندازه خطاهای سیستماتیک در کل شبکه	۳۲
شکل ۳-۳: هیستوگرام اندازه خطاهای اتفاقی در کل شبکه و هیستوگرام اندازه خطاهای سیستماتیک در کل شبکه	۳۳
شکل ۴-۱: توزیع نقاط در بانک داده BGI	۵۶
شکل ۴-۲: توزیع نقاط نجومی درجه یک در ایران	۵۶
شکل ۴-۳: تغییرات ژئوئید دریایی در خلیج فارس حاصل از مشاهدات ارتفاع سنجی ماهواره‌ای	۵۷
شکل ۴-۴: تغییرات پتانسیل ثقل تفاضلی بر روی سطح بیضوی رفرانس در منطقه ایران	۵۷
شکل ۴-۵: منحنی GCV و نقطه حداقل منحنی بعنوان پارامتر هموارسازی 4.5278×10^{-10}	۵۸
شکل ۴-۶: تغییرات شتاب ثقل تفاضلی بر روی سطح بیضوی رفرانس	۵۸
شکل ۴-۷: تغییرات ارتفاع در منطقه ایران حاصل از مدل SRTM	۵۹
شکل ۴-۸: نقشه تغییرات شتاب ثقل تفاضلی در نقطه با ارتفاع متوسط در منطقه ایران بر اساس روش پیشنهادی	۶۰
شکل ۴-۹: نقشه تغییرات شتاب ثقل رفرانس حاصل از بسط هارمونیکهای تا درجه و مرتبه ۳۶۰ و اثر میدان گریز از مرکز در نقطه با ارتفاع متوسط در منطقه ایران.....	۶۰
شکل ۴-۱۰: نقشه تغییرات شتاب ثقل رفرانس حاصل از بسط هارمونیکهای تا درجه و مرتبه ۳۶۰ و اثر جرم‌های در فاصله نزدیک در نقطه با ارتفاع متوسط در منطقه ایران.....	۶۰
شکل ۴-۱۱: نقشه تغییرات اثر جرم‌های در فاصله نزدیک در نقطه با ارتفاع متوسط در منطقه ایران.....	۶۱
شکل ۴-۱۲: نقشه تغییرات شتاب ثقل متوسط محاسبه شده براساس روش پیشنهادی	۶۱
شکل ۴-۱۳: خط ترازیابی و یک قطعه	۶۷

شکل ۲-۵: خانواده "قوانین توزیع خطاهای"	۷۳
شکل ۵-۳: مدل پیوسته ماتریس کواریانس	۷۴
شکل ۵-۴: حالت‌های حدی توابع کواریانس	۷۵
شکل ۵-۵: اولین خانواده از توابع کواریانس	۷۶
شکل ۵-۶: دومین خانواده از توابع کواریانس	۷۷
شکل ۵-۷: اختلاف پتانسیل‌های تعدیل شده	۸۷
شکل ۵-۸: اختلاف ارتفاعات دینامیک محاسبه شده	۸۷
شکل ۵-۹: اختلاف ارتفاعات ارتومنتریک محاسبه شده	۸۸
شکل ۵-۱۰: اختلاف بین اختلاف ارتفاعات ارتومنتریک و دینامیک محاسبه شده	۸۸
شکل پ-۴-۱: سیستم مختصات کارتزین $\{x, y, z\}$ در صفحه تصویر و عنصر جرمی ΔV_i	۱۰۶

فهرست جداول

عنوان جدول	صفحه
جدول ۳-۱: پارامترهای آنالیز واریانس خطوط ترازیابی	۲۸
جدول ۳-۲: نتایج آنالیز واریانس خطوط ترازیابی شبکه ترازیابی دقیق ایران	۳۱
جدول ۴-۱: مسئله مقدار دو مرزی با مرزهای ثابت و آزاد و غیر خطی با اطلاعات بیش از مورد نیاز	۳۷
جدول ۴-۲: مسئله مقدار مرزی خطی دیریخله برای پتانسیل تقلیل تفاضلی	۵۳
جدول ۵-۱: خصوصیات یک مدل کواریانس	۷۵
جدول ۵-۲: دو مدل کواریانس معرفی شده	۷۶

فصل اول

مقدمه

مبحث ارتفاعات برخلاف آنچه که در ظاهر به نظر می‌رسد، از پیچیده‌ترین مباحث علم رئودزی به شمار می‌رود. بر این اساس مباحثی چون تعیین ارتفاع دقیق و مبنای ارتفاعی از موضوعات مهم تحقیقاتی در رئودزی است. برخلاف موقعیت مسطحاتی که از سالها قبل توسط روش‌های ماهواره‌ای همچون^۱ GPS در اختیار عموم قرار گرفته است تا کنون امکان ساخت سیستمی برای تعیین ارتفاعات به مفهوم فیزیکی آن وجود نداشته است. ارتفاعات جزو محدود کمیت‌های فیزیکی هستند که هنوز مبدأ^۲ و دیتوم^۳ جهانی برای آن تعریف نشده است.

ساده‌ترین شیوه بمنظور تعیین ارتفاع، ترازیابی^۳ است. از اینرو یکی از مباحث مهم در زمینه ارتفاعات شبکه‌های ترازیابی دقیق است که در اکثر کشورها وجود دارد. از استفاده‌های شبکه‌های ترازیابی دقیق می‌توان به بررسی جایگاهی‌های ارتفاعی پوسته زمین (رئودینامیک منطقه)، ایجاد نقاط مبنایی برای شبکه کنترل میکرورئودزی، ایجاد سیستم ارتفاعی یکسان برای نقشه‌های پوششی ملی مورد اشاره کرد.

ضرورت انجام ترازیابی دقیق اولین بار در دومین کنفرانس نقشه‌برداری در برلین در سال ۱۸۶۷ مطرح شد و روابط استانداردی برای آن ارائه شد. در شبکه‌های ترازیابی دقیق، مشاهدات همانند سایر مشاهدات در کارهای نقشه‌برداری تحت تأثیر عواملی چون اشتباهات، خطاهای

¹ Global Positioning System

² Datum

³ Levelling

سیستماتیک و خطاهای اتفاقی قرار دارند. قبل از محاسبات با استی اثرات این عوامل از مشاهدات حذف شود. مشاهدات اشتباه با یکسری کتربل‌ها قابل تشخیص و حذف است. حتی الامکان می‌باشد؛ مشاهدات مربوطه تکرار گرددند. مطالعات زیادی جهت بررسی دقت شبکه ترازیابی دقیق و نیز اثر خطاهای سیستماتیک و اتفاقی در این شبکه‌ها صورت گرفته است (Vignal, 1936).¹ فرمول‌های لالمند² برای خطاهای سیستماتیک³ و اتفاقی⁴ در شبکه‌های ترازیابی در کنفرانس عمومی بین المللی نقشه-برداری⁵ در هامبورگ سال ۱۹۱۲ مطرح و پذیرفته شدند. در مجمع اسلو اتحادیه بین المللی ژئودزی⁶ در سال ۱۹۴۸، فرمول‌های خطای ترازیابی مجدداً بازبینی شده و فرمول‌های ویگنان⁷ برای آورد دقت شبکه ترازیابی پذیرفته شد.

خطاهای ناشی از دستگاه‌ها، شرایط دمای محیط و اپراتور، ساختاری دارند که حذف آنها از مشاهدات بسیار سخت است، همچنین ارزیابی و تشخیص دقت ترازیابی کار ساده‌ای نیست. در چند دهه اخیر چندین روش برای آورد دقت در شبکه‌های ترازیابی ارائه شده است، برای مطالعه جزئیات آنها به (Jordan et al, 1956, pp. 223- 255) مراجعه شود.

بعد از سال ۱۹۵۵، توسط واسف و مش در مقالاتی چون (Wassef & Mesh, 1955; Wassef, 1955) کاربرد آماره‌های ریاضی، برای آنالیز واریانس در مطالعه اختلاف احتلاف

¹ Lallemand's formulae

² Systematic error

³ Random error

⁴ General Conference of International Surveying

⁵ Oslo Assembly of the International Association of Geodesy

⁶ Vignal's formulae

ارتفاعات رفت و برگشت^۱ قطعات ترازیابی بر اساس آزمونی بوسیله تست فیشر^۲ مطرح شده است.

همانطور که بیان شد یکی از اهداف شبکه‌های ترازیابی دقیق ایجاد سیستم ارتفاعی یکسان برای نقشه‌های پوششی ملی است ولی ارتفاع حاصل از ترازیابی بدلیل وابستگی اختلاف ارتفاع حاصل از ترازیابی به مسیر ترازیابی یکتا نمی‌باشد. بنابراین نمی‌توان این روش را بعنوان یک روش مناسب جهت تعیین ارتفاع نقاط بکار برد (Sanso & Vaníček, 1986؛ Vaníček & Krakiwsky, 2000؛ Jekeli, 2006). بدین جهت در شبکه‌های ترازیابی دقیق مشکل را می‌توان با تبدیل نتایج وابسته به مسیر به نتایج مستقل از مسیر حل نمود و اینجاست که مشاهدات ثقل در این شبکه‌ها نقش اساسی پیدا می‌کند و مسئله یافتن اختلاف ارتفاعات به یافتن اختلاف پتانسیل، کمیتی مستقل از مسیر، تبدیل می‌شود.

از جمله سیستم‌های ارتفاعی، سیستم ارتفاعی ارتمتریک^۳ است. صرف نظر از خطاهای ترازیابی و منابع خطای دیگر، محاسبه مقدار دقیق ارتفاع اورتمتریک به محاسبه دقیق میانگین شتاب ثقل در داخل زمین در امتداد خط شاقولی^۴ از ژئوئید^۵ تا نقطه مورد نظر روی سطح زمین منتهی می‌شود. با توجه به تعریف ارتفاع ارتمتریک، میانگین شتاب ثقل در امتداد خط شاقولی بین سطح زمین و ژئوئید بصورت انتگرالی تعریف می‌شود. برای محاسبه میانگین شتاب ثقل تا کنون مطالعات فراوانی صورت گرفته است. این کار با مطالعات هلمرت^۶ شروع شد. وی در تعریفی که منسوب به خود اوست، با فرض تغییر خطی شتاب ثقل در امتداد خط شاقولی، میانگین شتاب ثقل

¹ Discrepancy

² Fisher test

³ Orthometric

⁴ Plumb line

⁵ Geoid

⁶ Helmert

را با استفاده از شتاب ثقل مشاهده شده در سطح زمین از گرادیانت شتاب ثقل پوانکاره-پری^۱ تعیین کرد. بعدها نایمر (Niethammer, 1932) و مادر (Mader, 1954) با ثابت فرض نمودن توزیع دانسیته توپوگرافی در امتداد خط شاقولی، اثر جاذبه توپوگرافی را به تصحیح پلیت بوگه^۲ و تصحیح هوای آزاد^۳ افزودند. هایسکانن و موریتز (Heiskanen & Moritz, 1967) نیز روش‌های عمومی را برای محاسبه میانگین شتاب ثقل در داخل زمین در امتداد خط شاقولی ارائه نمودند. ونیچک و همکاران (Vaníček et al., 1995) تغییرات جانبی دانسیته توپوگرافی را به تعریف ارتفاع ارتومنتریک هلمرت افزودند. هوانگ و هسیا (Hwang & Hsiao, 2003) و دنیس و فدرستون (Dennis & Featherstone, 2003) نیز تصحیحات دیگری را برای محاسبه تغییرات دانسیته در جهات عرضی و شعاعی ارائه نمودند. در ادامه تنzer (Tenzer, 2004) مقدار میانگین انگرال شتاب ثقل در امتداد خط شاقولی داخل توپوگرافی را با در نظر گرفتن دانسیته توپوگرافی واقعی و تغییر توزیع شتاب ثقل با عمق را تعریف کرد. اردلان و جزایری در سال ۱۳۸۴ با مدلسازی شتاب ثقل در داخل زمین مقدار میانگین شتاب ثقل در داخل زمین را محاسبه کردند. علاوه بر موارد یاد شده مطالعات زیادی نیز در خصوص محاسبه ارتفاع ارتومنتریک انجام شده است که به عنوان نمونه می‌توان به Allister & Strange, 1982; Krakiwsky, 1965; Rapp, 1961; Dennis & Featherstone, 2003; Hwang & Hsiao, 2003; & Featherstone, 2001; Tenzer & Santos et al., 2006; Sjöberg, 2006; et al., 2005 اشاره کرد.

¹ Poincaré-Prey

² Bouguer Plate

³ Free Air Reduction

از جمله کارهای انجام شده در ایران مرتبط با شبکه ترازیابی دقیق این کشور و خطاهای موجود در این شبکه نیز می‌توان به (Meamarzadeh, 1998؛ Moosavi, 1996؛ Vooosoghi, 1994) اشاره کرد.

گریمی، ۱۳۸۲؛ احمدی، ۱۳۸۲؛ یوسفی، ۱۳۸۶) اشاره کرد. اغلب کارهای انجام شده در ایران مرتبط با خطاهای سیستماتیک موجود در شبکه ترازیابی، اثرات این خطاهای مدلها مربوط به آنها است. از تحقیقات انجام شده مرتبط با ارتفاعات (گریمی، ۱۳۸۲؛ یوسفی، ۱۳۸۶) را می‌توان نام برد. گریمی در سال ۱۳۸۲ اعداد ژئوپتانسیل^۱ را برای کل شبکه ترازیابی دقیق ایران با مدلسازی ثقل در بنچ‌مارک‌های بدون ثقل این شبکه و با فرض استقلال مشاهدات محاسبه نمود و ارتفاعات دینامیک^۲ را در شبکه با توجه به اعداد ژئوپتانسیل محاسبه شده بدست آورد. پس از آن یوسفی در سال ۱۳۸۶ ارتفاعات نرمال^۳ را با آن اعداد ژئوپتانسیل در شبکه محاسبه نمود و تا کنون جهت محاسبه ارتفاع ارتومنتریک در شبکه ترازیابی دقیق ایران تلاشی صورت نگرفته است لذا این پایان‌نامه با هدف محاسبه ارتفاع ارتومنتریک در شبکه ترازیابی درجه یک ایران تعریف شده است و جهت انجام آن از اطلاعات ترازیابی و ثقل سنجی مرحله اول شبکه ترازیابی درجه یک ایران که از سازمان نقشه‌برداری کشور دریافت شده، استفاده شده است.

این اطلاعات، مشاهدات ترازیابی مربوط به ۵۸ لوپ ترازیابی^۴ شامل ۲۰۲ خط ترازیابی^۵ و ۱۱۴۱۰ قطعه ترازیابی^۶ و ۱۱۳۵۲ بنچ‌مارک است و از میان آنها فقط ۱۳ لوپ شامل، ۶۰ خط ترازیابی، ۳۵۰۱ قطعه ترازیابی و ۳۴۹۳ بنچ‌مارک دارای اطلاعات ثقل کاملی بودند.

¹ Geopotential Number

² Dynamic heights

³ Normal Height

⁴ Levelling Loop

⁵ Levelling Line

⁶ Levelling Section

—

فصل دوم این پایاننامه به مروری بر مفاهیم گرانش، ثقل و پتانسیل زمین و سیستم‌های ارتفاعی مختلف اختصاص یافته است و در فصل سوم به بررسی خطاهای شبکه‌های ترازیابی دقیق پرداخته شده است و در انتهای فصل شبکه ترازیابی دقیق ایران از نظر وجود خطاهای مورد بررسی قرار گرفته است. در فصل چهارم مسئله محاسبه شتاب ثقل مطرح شده و روشی جهت محاسبه شتاب ثقل متوسط در امتداد خط شاقولی ارائه شده است و ثقل متوسط بنچ‌مارک‌های لوپ‌هایی از شبکه ترازیابی دقیق ایران که دارای اطلاعات ثقلی کامل بودند محاسبه شده است. فصل پنجم با بررسی روش سرشکنی شبکه‌های ترازیابی دقیق و مدل‌هایی که می‌تواند مورد استفاده قرار گیرد شروع و پس از بیان نحوه تشکیل ماتریس‌ها و معادلات مورد نیاز برای سرشکنی، نتایج مربوط به سرشکنی ۱۳ لوپ مذکور ارائه شده است. در نهایت اختلاف ارتفاعات ارتفاعات دینامیک بنچ‌مارک‌های این لوپ‌ها محاسبه و از آنها جهت محاسبه اختلاف ارتفاعات ارتو متريک استفاده شده است و نمايش داده شده است. فصل ششم نيز به جمع‌بندی و نتيجه‌گيری اختصاص یافته است.

فصل دوم

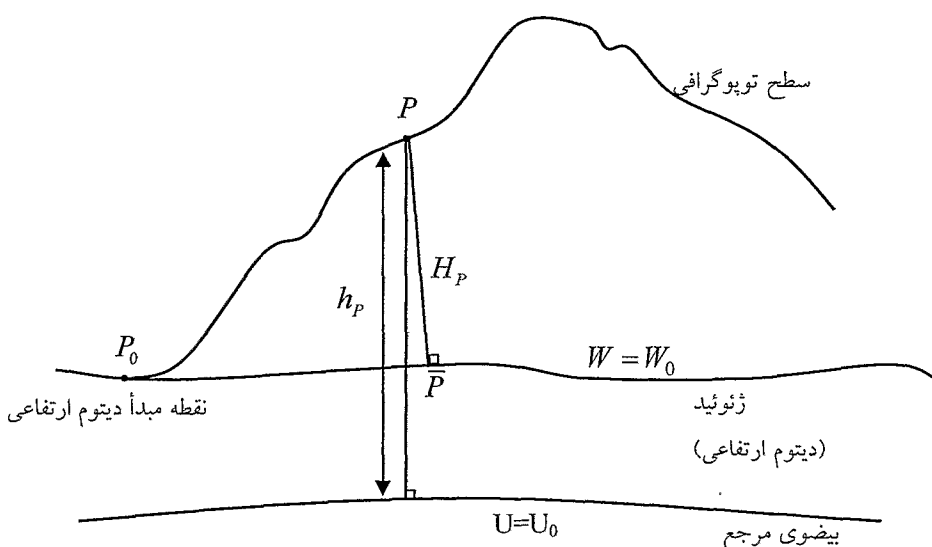
تئوری ارتفاعات

نقاط روی یا نزدیک سطح زمین بطور معمول با سه مختصه بیان می‌شوند، عرض، طول و ارتفاع. عرض و طول به یک بیضوی دورانی مربوط شده و بطور دقیق‌تر بصورت طول و عرض ژئودتیکی تعریف می‌شوند. بیضوی شکل هندسی ریاضی است و طوری انتخاب می‌شود که بطور جهانی به سطح متوسط دریا برازش یابد. فرض می‌شود که مرکز جرم زمین است و محور کوچک آن از قطب زمین می‌گذرد. ارتفاع نقطه^۱ می‌تواند نسبت به این بیضوی تعریف شود، همانطور که طول و عرض اینگونه است و می‌توان ارتفاع از بیضوی، h_p ، را بصورت ارتفاع در امتداد قائم بر بیضوی از نقطه مورد نظر تا سطح بیضوی تعریف کرد، (شکل ۲-۱).

در هر صورت، در بسیاری از کاربردهای نقشه برداری، ارتفاع نقطه بایستی به سطح متوسط دریا^۱، نسبت داده شود یا بطور دقیق‌تر به یک دیتوم ارتفاعی (یعنی، یک سطح مرجع برای ارتفاعات که حداقل در یک نقطه، نقطه مبدأ، قابل دسترسی است). لازم به ذکر است که سطح بیضوی با سطح متوسط دریا یکسان نیست، و با آن در حد ۳۰ تا ۱۱۰ متر می‌تواند اختلاف داشته باشد (Jekeli, 2000). به عبارت دیگر، بیضوی ممکن است به عنوان «دیتوم ارتفاعی» برای ارتفاعات بیضوی در نظر گرفته شود. در این صورت در دسترس بودن بیضوی بطور غیرمستقیم از این فرض حاصل می‌شود که بیضوی در یک چارچوب مختصاتی ایجاد شده از مشاهدات ماهواره-

^۱ Mean Sea Level (MSL)

ای حاصل می‌شود و مختصات سه بعدی یک نقطه را می‌دهد. یک دیتوم ارتفاعی به صورت هر مقدار عددی یا مجموعه‌ای از مقادیر عددی است که به عنوان مرجع یا پایه‌ای برای دیگر مقادیر به کار می‌رود (Jekeli, 2000). در آن صورت، یک دیتوم ارتفاعی مرجعی برای ارتفاعات می‌باشد.



شکل ۲: ارتفاع از بیضوی در مقابل ارتفاع نسبت به ژئوئید، (ارتفاع ارتومنتریک).

۱-۲ گرانش^۱، ثقل^۲ و پتانسیل زمین^۳

کلمات ثقل و گرانش معادله معروف نیروی جاذبه گرانشی نیوتون را یادآور می‌شوند

$$F_{12} = \frac{G m_1 m_2}{R_{12}^2} \quad (1-2)$$

که

F_{12} ، نیروی جاذبه گرانشی بین دو جرم نقطه‌ای ۱ و ۲ بر حسب نیوتون (N)، G ثابت جهانی گرانش

($G = 6.672 \times 10^{-11} Nm^2 / kg^2$)، m_1 و m_2 جرم اجرام نقطه‌ای بر حسب کیلوگرم و R_{12} فاصله

بین دو نقطه بر حسب متر است.

¹ Gravitation

² Gravity

³ Earth Potential

با توجه به معادله بالا نیرو بر واحد جرم برای جرم m_2 را می‌توان به صورت زیر نوشت

$$a_2 = \frac{F_{12}}{m_2} \quad (2-2)$$

$$a = \frac{Gm_1}{R_{12}^2} \quad (3-2)$$

وقتی این مقدار برای یک جسم نسبت به نیروی گرانش جاذبه زمین درنظر گرفته شود، می‌توان اندیس‌ها را حذف نمود و معادله بالا را به صورت زیر نوشت

$$a_2 = \frac{GM}{R^2} \quad (4-2)$$

از آنجاییکه نیرو یک بردار است معادله بالا به صورت برداری بازنویسی می‌شود

$$\vec{a} = \frac{GM}{R^3} \vec{R} \quad (5-2)$$

مقدار \vec{a} جاذبه گرانش جرم M است، که جرم زمین می‌باشد. میدان جاذبه گرانش زمین یک میدان غیر دورانی است، بدین معنی که مقدار کار انجام شده برای رفتن از نقطه ۱ به ۲ مستقل از مسیر می‌باشد. نمایش این مسئله به زیان ریاضی به صورت زیر می‌باشد

$$rot \vec{a} = \nabla \times \vec{a} = \vec{0} \quad (6-2)$$

که با توجه به آنالیز برداری معادل با گرادیانت F (∇F) می‌باشد که F میدانی اسکالر است. بنابراین، جاذبه گرانش را می‌توان بصورت گرادیانت یک میدان اسکالر نوشت و این میدان اسکالر میدان پتانسیل گرانش V نامیده می‌شود. \vec{a} جاذبه و V پتانسیل گرانش نامیده می‌شود. پتانسیل گرانش زمین به صورت زیر نوشته می‌شود

$$V = \frac{GM}{R} \quad (7-2)$$

معادله بالا را می‌توان با جایگذاری دانسیته بجای جرم بازنویسی کرد،

$$V = G \iiint_{\Omega} \frac{\rho(x, y, z)}{R} dx dy dz \quad (8-2)$$

که Ω معرف حجم زمین می‌باشد.